

## ارزیابی اثرات تغییر اقلیم بر مقادیر رسوبر متعلق در تعدادی از حوزه‌های آبخیز استان اردبیل

نیز آقابیگی<sup>۱</sup>  
اباذر اسماعلی عوری<sup>۲</sup>  
رئوف مصطفی زاده<sup>۳</sup>  
محمد گلشن<sup>۴</sup>

### چکیده

برآورد رسوبردهی رودخانه‌ها بهدلیل تأثیرگذاری عوامل مختلف دارای پیچیدگی بالایی می‌باشد. استفاده از منحنی‌های سنجه‌رسوب و رابطه توانی برآش داده شده بین داده‌های دبی و غلظت رسوبر متعلق یکی از متداول‌ترین روش‌های تعیین میزان غلظت رسوبر متعلق است. هدف پژوهش حاضر به‌دست آوردن تغییرات رسوبر طی دهه آینده (۲۰۳۰-۲۰۱۱) با استفاده از معادله سنجه‌رسوب می‌باشد. برای این‌منظور از مدل هیدرولوژیکی IHACRES و مدل اقلیمی LARS-WG استفاده شد. مدل IHACRES ابتدا برای ۷ ایستگاه هیدرومتری و استنجی و اعتبارسنجی شد سپس با به‌کارگیری مدل LARS-WG میزان تغییرات درجه حرارت حداقل، حداقل و بارندگی برای دوره آینده به‌دست آمدند. این تغییرات به مدل IHACRES اعمال شدند و میزان دبی جریان دوره آتی تخمین زده شد. با استفاده از داده‌های دبی و رسوبر مشاهداتی منحنی‌سنجه‌رسوب تهیه و

۱- کارشناسی ارشد، فارغ‌التحصیل رشته آبخیزداری، دانشگاه محقق اردبیلی

۲- دانشیار گروه منابع طبیعی، دانشکده کشاورزی و منابع طبیعی، دانشگاه محقق اردبیلی (نویسنده مسئول)  
Email: esmalouri@uma.ac.ir-Tel: 09144538623

۳- استادیار گروه منابع طبیعی، دانشکده کشاورزی و منابع طبیعی دانشگاه

۴- دانشجوی دکترا

مقادیر دبی رسوب معلق برای دوره آتی محاسبه شد. نتایج نشان داد مقدار بارندگی  $3/68$  درصد کاهش یافته و دمای حداقل  $16/48$  و دمای حداکثر نیز  $5/39$  درصد افزایش یافته است، که به طور کلی منجر به کاهش  $16$  درصدی رواناب شده است. همچنین تعداد رخدادهای دبی اوج افزایش یافته که بیشترین افزایش مربوط به ایستگاه هیدرومتری یامچی با دبی متوسط  $2/09$  و  $16$  رخداد دبی اوج بالای  $6$  مترمکعب بر ثانیه می‌باشد. این تغییرات اقلیمی به طور متوسط منجر به کاهش  $47$  درصدی بار معلق رسوب در ایستگاه‌های مطالعاتی شده است. نتایج پژوهش نشان دهنده تأثیر قابل توجه تغییر اقلیم بر حوزه‌های آبخیز استان اردبیل می‌باشد و با توجه به اثرات زیست محیطی تغییر اقلیم لازم است راهکارهایی جهت مدیریت مناسب حوزه‌های آبخیز اتخاذ شود.

**واژگان کلیدی:** سنجه‌رسوب، تغییر اقلیم، IHACRES، LARS-WG، دبی

## مقدمه

فرسایش و رسوب گذاری، یک فرآیند معمول در سطح اراضی و رودخانه‌ها است که امروزه تشديد اين فرآيند منجر به از دست رفن خاک حاصلخيز به صورت کاهش توان توليدی و تخریب خصوصیات فیزیکو-شیمیایی خاک و ایجاد خسارت‌های هنگفت در طرح‌های منابع آب می‌شود (گیریلامو و همکاران، ۲۰۱۵: ۱۳۶). مشخصات ژئومورفولوژیکی، اقلیمی و فعالیت‌های کشاورزی مانند شخم در جهت شبیب باعث تشديد فرسایش در حوضه‌های مدیرانه‌ای شده است (گومز و همکاران، ۲۰۰۹: ۷). بابروویستکایا<sup>۱</sup> و همکاران (۲۰۰۳: ۱۲۸) با تحلیل آماری و هیدرولوژیکی تغییرات بلندمدت رسوب معلق در رودخانه‌های بزرگ به این نتیجه رسیدند که تغییرات زمانی بار رسوب معلق به جای تغییرات اقلیمی بیشتر در ارتباط با فعالیت‌های انسانی بوده است. رسوب معلق رودخانه‌ها تا حد زیادی نشان‌دهنده وضعیت بالادست حوضه می‌باشد و از اطلاعات موجود می‌توان رابطه



بین فرسایش حوضه و رسوب معلق را مطالعه کرد (Hicks<sup>۱</sup>، ۲۰۰۰: ۱۱۳۰؛ Kao<sup>۲</sup>، ۲۰۰۵: ۶۵۳). غالب ارزیابی‌های مقدار تولید رسوب حوزه‌های آبخیز با استفاده از نمونه‌برداری‌های پراکنده و نامنظم از رسوبات معلق رودخانه‌ها صورت می‌گیرد که در صورت عدم وجود اندازه‌گیری واقعی رسوب، از منحنی سنجه رسوب برای تخمین غلظت رسوب معلق استفاده می‌شود (Horowitz<sup>۳</sup>، ۲۰۰۳: ۳۳۸۷؛ Gupta and Chakrapani<sup>۴</sup>، ۲۰۰۷: ۶۸۰). عوامل بسیاری چون اقلیم، کاربری اراضی، صحت آمار و نحوه تجزیه و تحلیل آماری بر شکل و شیب منحنی‌ها مؤثر می‌باشد (Walling<sup>۵</sup>، ۱۹۹۷: ۱۱۳).

وانگ و همکاران (۲۰۰۷: ۳۳۱) در تحقیقی به بررسی تغییرات رسوب معلق وارد به دریا از طریق رودخانه زردچین پرداختند. نتایج نشان داد که در دوره ۱۹۵۰ تا ۲۰۰۵ میزان رسوب به صورت تدریجی کاهش یافته است. کاهش در میزان بارندگی و دبی جریان ۳۰ درصد در این کاهش رسوب تأثیرگذار بوده است. کاهش دبی جریان و دبی رسوب در سایر رودخانه‌ها مانند نیل (ایستنلی و وارن، ۱۹۹۸: ۷۹۴)، ایندوس (والینگ و فانگ، ۲۰۰۳: ۱۱۱) و چانگ‌جیانگ (یانگ و همکاران، ۲۰۰۶: ۸) نیز مشاهده شده است.

گیرولامو و همکاران (۲۰۱۵: ۱۳۸) با استفاده از منحنی سنجه رسوب اقدام به آنالیز تغییرات رسوب معلق در طی دوره ۱۲ ماهه در رودخانه کلون ایتالیا پرداختند. مقدار رسوب معلق بین ۲۵۰ تا ۳۸۴ تن در کیلومتر مربع در سال به دست آمد. نتایج نشان داد که ۹۴ درصد رسوبات در دبی‌های اوج و کمتر از ۱ درصد رسوبات در دبی‌های پایین انتقال می‌یابد.

1 Hicks

2 Kao

3 Horowitz

4 Gupta and Chakrapani

5 Walling

لادیگارد و همکاران (۲۰۱۶: ۵۸۴) در تحقیقی در حوزه زاکنبرگ گربلند از روش منحنی سنجه‌رسوب برای تعیین رابطه بین غلظت رسوب و دبی جریان پرداختند. متوسط غلظت رسوب ۴۳ هزار تن در سال و ۶۱ هزار تن در سال محاسبه شد و به طور متوسط ۲۰ تا ۳۷ درصد دبی رسوب مربوط به وقایع اوج می‌باشد. نتایج روش سنجه‌رسوب نشان داد که این روش نسب به تغییرات روزانه غلظت رسوب کمتر حساس می‌باشد. در پژوهش حکیم‌خانی و همکاران (۱۳۷۹: ۱) به تحلیل رسوب معلق در دریاچه ارومیه پرداختند که عوامل دبی متوسط سالانه، درصد سنگ‌های حساس به فرسایش، بارش متوسط سالانه و درصد اراضی به عنوان عوامل اصلی بیش از ۹۳٪ تغییرات رسوب معلق معرفی شدند. در مطالعه‌ای لکزائیان پور و همکاران (۱۳۹۵: ۱۸۳) به بررسی برآورد مقدار رسوب از داده‌های دبی با استفاده از منحنی سنجه‌رسوب پرداختند نتایج نشان می‌دهد با افزایش بارندگی ۴۶/۹۶٪ درصدی مقدار رسوب معلق به میزان ۶۲/۹۹ درصد افزایش یافته است. همچنین در تحقیقی از منحنی سنجه‌رسوب به منظور تعیین رسوب معلق در رودخانه زاینده رود استفاده شد (حلييان و همکاران ۱۳۹۵: ۱۹۴)، نتایج نشان داد که بیشترین رسوب معلق در سال ۱۳۸۵ و کمترین آن در سال ۱۳۸۱ رخ داده است، همچنین نتایج نشان داد با افزایش بارندگی، رسوب معلق افزایش می‌یابد.

### مبانی نظری

مدل هیدرولوژیکی IHACRES یکی از پرکاربردترین مدل‌های هیدرولوژیکی جهت تخمین رواناب می‌باشد که قابلیت مدل‌سازی برای دوره آینده را دارد (صیاحی و همکاران، ۱۳۹۶: ۸). در سال‌های اخیر به طور گسترده در مطالعات داخل کشور (گودرزی و همکاران، ۱۳۹۴: ۱۷۶؛ کاویان و همکاران، ۱۳۹۶: ۹۰؛ گلشن و همکاران، ۱۳۹۵: ۲۹) و خارج کشور (لیتل‌وود، ۲۰۰۷: ۱۲۲۹؛ سریونگستیتانون و تاسومبات، ۲۰۱۱: ۹۱۷؛ داوچاند و همکاران، ۱۳۹۵: ۲۰۱۷) از این مدل برای تخمین رواناب استفاده شده است.

پارامترهای بارش و دما به عنوان ورودی تأثیر قابل توجهی در خروجی حوزه‌های آبخیز دارند، از طرفی بین دبی رواناب و دبی رسوب خروجی همبستگی بالایی وجود دارد. برپایه

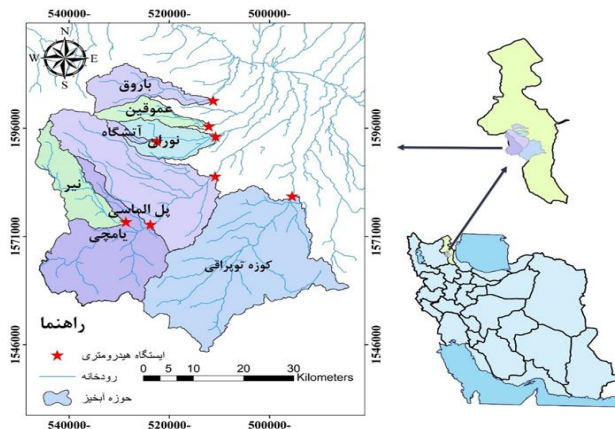


این همبستگی‌های معادلات و مدل‌های مختلفی برای فهم بهتر فرآیندهای حوزه‌های آبخیز ارائه شده است. آگاهی از توزیع مقدار رسوب در طول سیل‌های بزرگ، مهندسان را در طراحی سازه‌ها برای تله‌اندازی بهتر رسوب یاری می‌نماید. علاوه بر این دانستن چگونگی توزیع رسوب در طول دبی‌های مختلف به مدیریت بهتر و جامع حوزه‌های آبخیز کمک می‌کند (تلوری و همکاران، ۱۳۸۶: ۴۵). بنابراین هدف از این تحقیق: ۱) واسنجی مدل IHACRES در حوزه‌های مختلف، ۲) تعیین تغییرات اقلیمی برای دوره (۲۰۱۱-۲۰۳۰) با استفاده از مدل LARS-WG (۳) محاسبه منحنی سنجه رسوب برای حوزه‌های مختلف، ۴) تخمین دبی جریان برای دوره آتی با مدل IHACRES و ۵) محاسبه دبی رسوب برای دوره آتی در حوزه‌های مختلف با منحنی سنجه‌رسوب می‌باشد.

### داده‌ها و روش‌ها

#### موقعیت منطقه مورد مطالعه

استان اردبیل در شمال غربی فلات ایران بین مختصات  $۳۷^{\circ} ۴۵^{\circ}$  تا  $۴۲^{\circ} ۳۹^{\circ}$  عرض شمالی و  $۳^{\circ} ۴۷^{\circ}$  تا  $۵۵^{\circ} ۴۸^{\circ}$  طول شمالی واقع شده‌است (شکل ۱). استان اردبیل جزء اقلیم نیمه‌خشک و سرد کوهستانی محسوب می‌شود و به طور متوسط دارای  $۲۲۰$  تا  $۴۵۷$  میلی‌متر بارندگی می‌باشد، تغییرات دمایی حوزه از حداقل  $-۳۲$  درجه‌ی سانتی‌گراد در نزدیکی قله‌ی سبلان تا حداکثر  $۳۴$  درجه‌ی سانتی‌گراد در نواحی سد یامچی متغیر است. نتایج بررسی دوره آماری گذشته (۱۳۹۵-۱۳۶۶) برای ایستگاه‌های هواشناسی منطقه در جدول ۱ ارائه شد. بارش‌های منطقه تحت تاثیر اقلیم منطقه شمال غرب بوده و در اوایل فصل پاییز با ورود سیستم‌های باران‌زای غربی بارش‌ها شروع می‌شود (خروشی و همکاران، ۱۳۹۶: ۳۸۲).



شکل ۱- موقعیت جغرافیایی حوضه‌های مورد مطالعه در ایران و استان اردبیل

جدول ۱- مشخصات هواشناسی در منطقه مطالعاتی

| درجه حرارت<br>(سانتی گراد) | بارندگی<br>(میلی متر) | مشخصات جغرافیائی |            |            | نام ایستگاه |
|----------------------------|-----------------------|------------------|------------|------------|-------------|
|                            |                       | ارتفاع           | عرض        | طول        |             |
| ۸/۳                        | ۴۳۳/۸                 | ۱۷۷۸             | ۳۸°۱۲'۵۸"  | ۴۸°۰'۳۳'۰" | آتشگاه      |
| ۷/۵۶                       | ۴۶۱/۱                 | ۱۳۲۸             | ۳۸°۰'۱۳'۹" | ۴۷°۵۹'۴۰'' | نیر         |
| ۱۱/۲                       | ۴۰۴/۸                 | ۱۳۶۵             | ۳۸°۱۳'۵۱"  | ۴۸°۱۷'۰۲"  | اردبیل      |
| ۷/۷                        | ۴۵۶/۴                 | ۱۵۹۴             | ۳۸°۰'۲'۳۵" | ۴۸°۰'۲'۵۳" | یامچی       |

جدول ۲- مشخصات ایستگاههای هیدرومتری در حوضه‌های منتخب در استان اردبیل

| عرض        | طول         | ارتفاع (متر) | مساحت (هکتار) | ایستگاه    | نام روذخانه |
|------------|-------------|--------------|---------------|------------|-------------|
| ۳۸°۱۳'۰۵"  | ۴۸°۰'۳'۲۳"  | ۲۴۲۹         | ۱۶۶۱          | آتشگاه     | نوران       |
| ۳۸°۱۵'۰۷"  | ۴۸°۰'۱۰'۴۰" | ۲۲۲۹         | ۷۴۷۱          | عموقین     | یدی بولیک   |
| ۳۸°۰'۷'۲۸" | ۴۸°۰'۲۳'۰۱" | ۱۷۵۵         | ۷۶۶۷۴         | کوزه تپراق | قوربچای     |
| ۳۸°۱۳'۵۹"  | ۴۸°۱۱'۳۷"   | ۱۹۴۴         | ۱۲۸۴۷         | نوران      | نوران چای   |
| ۳۸°۰'۲'۰۲" | ۴۷°۵۹'۳۸"   | ۲۵۱۶         | ۱۵۷۹۷         | نیر        | نیر چای     |
| ۳۸°۱۸'۱۷"  | ۴۸°۱۰'۰۶"   | ۲۴۶۹         | ۱۲۶۴۷         | باروک      | شهریور      |
| ۳۸°۰'۲'۰۵" | ۴۸°۰'۲'۱۱"  | ۲۱۶۱         | ۵۶۶۲۴         | یامچی      | بالخلوچای   |



## تجزیه و تحلیل داده‌ها

### مدل اقلیمی LARS-WG

این مدل از سه بخش اصلی واسنجی، ارزیابی و شبیه‌سازی داده‌های هواشناسی داده‌های آینده تشکیل شده است. نیاز اساسی مدل در مرحله واسنجی، داده‌های آماری است که مشخص کننده رفتار اقلیم در دوره گذشته می‌باشد (کریمی و قاسمی، ۱۳۹۶: ۳۴۲). داده‌های روزانه بارش، دمای کمینه، دمای بیشینه و ساعت آفتابی ایستگاه سینوپتیک اردبیل در یک دوره ۳۰ ساله برای دوره گذشته وارد مدل LARS-WG شد. برای شبیه‌سازی ابتدا همبستگی آماری بین خروجی مدل در گذشته با داده‌های دوره آماری ایستگاه هواشناسی به دست آمد. در صورتی که نتایج به دست آمده از مقایسه داده‌های تولیدی توسط مدل با داده‌های دوره آماری قابل قبول باشد، می‌توان آن‌ها را در سناریوهای اقلیمی آینده مورد استفاده قرار داد. با بررسی منابع (لکزائیان پور و همکاران، ۱۳۹۵: ۱۸۳؛ کاویان و همکاران، ۱۳۹۶: ۸۹؛ صیاحی و همکاران، ۱۳۹۶: ۷؛ کریمی و قاسمی، ۱۳۹۶: ۲۴۱) از مدل HadCM3 جهت تخمین دما و بارش دوره آینده استفاده شد. جهت بررسی عملکرد نتایج شبیه‌سازی در مدل LARS-WG از آزمون‌های آماری برای مقایسه داده‌های تولید شده در مدل و داده‌های دوره پایه (مشاهداتی) استفاده شد.

### مدل هیدرولوژیکی IHACRES

مدل IHACRES یک مدل بارش رواناب در مقیاس حوزه آبخیز است که با هدف تشخیص رابطه بین بارش و رواناب توسعه داده شده است (سریونگسیتانون و تاسومبات، ۹۲۱: ۲۰۱۱). چارچوب مدل سازی IHACRES بر یک ساختار دو جزئی مبتنی است؛ بخش محاسبه رطوبت‌خاک SAM و بخش روندیابی و یا هیدرولوگراف واحد. مدل SAM بارش و درجه حرارات را به بارش موثر تبدیل می‌کند. بخش روندیابی بارش مؤثر را به جریان تبدیل می‌کند (بی و همکاران، ۱۹۹۷):

$$u_k = [c(\Phi_k - 1)]^p r_k \quad (1)$$

که در آن  $C$  ضریب تعادل حجم بارش،  $I$  آستانه شاخص رطوبت خاک، فاکتور واکنش غیر خطی،  $r_k$  بارش مشاهداتی است.

$$\Phi_k = r_k + \left(1 - \frac{1}{r_k}\right) \Phi_{k-1} \quad (2)$$

در رابطه مذکور  $\Phi_k$  نشان دهنده شاخص رطوبت خاک می‌باشد، بقیه پارامترها مطابق با رابطه ۱ می‌باشند.

#### منحنی سنجه‌رسوب

منحنی سنجه‌رسوب، مربوط به غلظت رسوبات معلق رودخانه به منظور برآورد رسوبات از داده‌های دبی جریان رودخانه استفاده می‌کند. منحنی سنجه‌رسوب به‌طور کلی نشان دهنده یک رابطه تابعی نمایی می‌باشد (حلیان و حیدری، ۱۳۹۵: ۱۹۳):

$$SSC = aQ^b \quad (3)$$

تا زمانی که دبی  $Q \left(\frac{m^3}{s}\right)$  و رسوب  $SSC \left(\frac{g}{m^3}\right)$  باشد و رسوبات به‌حالت معلق باشند پارامتر  $a$  و  $b$  (ضرایب ثابت) برای یک جریان خاص از داده از طریق رگرسیون خطی بین لگاریتم  $SSC$  و لگاریتم  $Q$  تعیین می‌شود. پس از آن، بار رسوبات ( $SL$ ) را می‌توان با رابطه زیر محاسبه کرد (آقابیگی، ۱۳۹۶: ۹۷):

$$SL = Q * SSC \quad (4)$$

معادله سنجه‌رسوب در کاغذ لگاریتمی رسم می‌شود و معادله خط آن به صورت توانی است. پس از بدست آوردن معادله خط منحنی سنجه‌رسوب، اگر فقط داده‌های دبی موجود باشند، این داده‌ها در معادله قرار می‌گیرند و مقدار رسوب تخمین زده می‌شود. در اکثر ایستگاه‌های هیدرومتری کشور امکان ثبت همزمان دبی آب و دبی رسوب وجود ندارد و معمولاً از منحنی سنجه‌رسوب استفاده می‌شود، از دلایل دیگر استفاده از این روش، دشواری نمونه‌برداری در هنگام وقوع سیلاب می‌باشد.



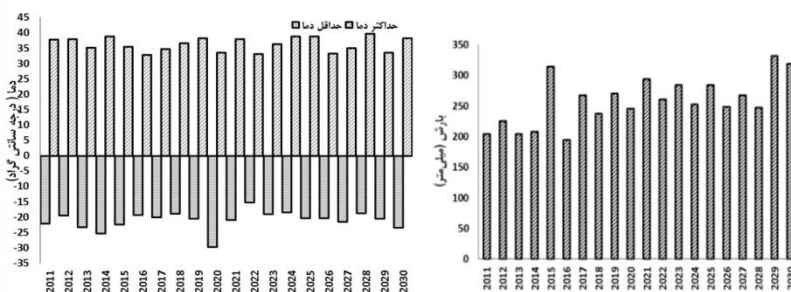
## تخمین دبی رواناب و رسوب برای دوره آتی

مدل IHACRES ابتدا برای ایستگاه‌های هیدرومتری مورد مطالعه و استنجدی شد سپس با عمل داده‌های اقلیمی شبیه‌سازی شده با مدل اقلیمی LARS-WG میزان رواناب برای دوره آینده پیش‌بینی شد. سپس به منظور محاسبه میزان رسوب برای دوره آتی (۲۰۱۱-۲۰۳۰) از معادله منحنی سنجه‌رسوب دوره مشاهداتی استفاده شد. معادلات سنجه‌رسوب مشاهداتی به عنوان یکتابع از دبی‌های رودخانه رسم شد و اغلب به نام منحنی سنجه‌رسوب معرفی شده‌است. منحنی سنجه‌رسوب برای تولید رسوب بر اساس اوج جریان روزانه پیش‌بینی شده برای دوره‌های ۲۰۱۱ تا ۲۰۳۰ استفاده شد.

## بحث و بررسی

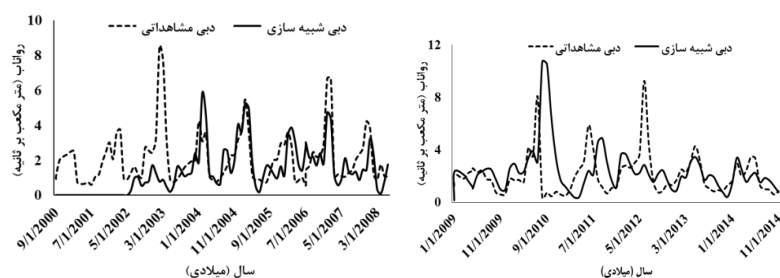
### اثر تغییر اقلیمی بر دبی جریان

ریزمقیاس نمایی تغییرات اقلیمی با مدل HadCM3 برای دوره ۲۰۱۱-۲۰۳۰ تحت سه سناریو اقلیمی (A1، A1B و B1) انجام شد و سناریو واقع‌بینانه A1B برای بررسی تغییرات اقلیمی انتخاب شد (شکل ۲). نتایج نشان داد که برای این دوره مقدار بارندگی به طور متوسط ۳/۶۸ درصد کاهش یافته است و بیشترین کاهش مربوط به ماه نوامبر می‌باشد. همچنین دمای حداقل و حدکثر به طور متوسط به ترتیب ۴۸/۱۶ درصد و ۵/۳۹ افزایش یافته است و بیشترین افزایش دما مربوط به دمای حداقل ماه زانویه با ۳ درجه سانتی‌گراد و بیشترین کاهش دما مربوط به دمای حداقل ماه جولای با ۱/۹ درجه سانتی‌گراد می‌باشد.

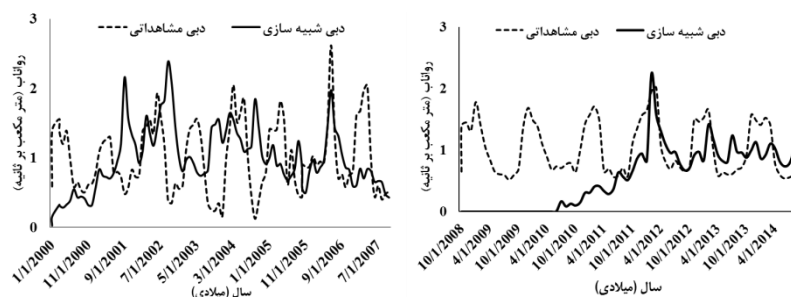


شکل ۲- نتایج پیش‌بینی مدل Lars با سناریو A1B: (الف) بارندگی، (ب) درجه حرارت حداقل و حدکثر

جهت استفاده از مدل هیدرولوژیکی IHACRES برای شبیه‌سازی رواناب آینده ابتدا این مدل در ۷ ایستگاه مطالعاتی واسنجی و اعتبارسنجی شد. نتایج واسنجی و اعتبارسنجی مدل در دو ایستگاه یامچی و نیر به ترتیب در شکل‌های ۳ و ۴ ارائه شده است.



شکل ۳- شبیه‌سازی دبی حوضه یامچی با مدل IHACRES: (الف) دوره واسنجی (ب) دوره اعتبار سنجی



شکل ۴- شبیه‌سازی دبی حوضه نیر با مدل IHACRES: (الف) دوره واسنجی (ب) دوره اعتبار سنجی

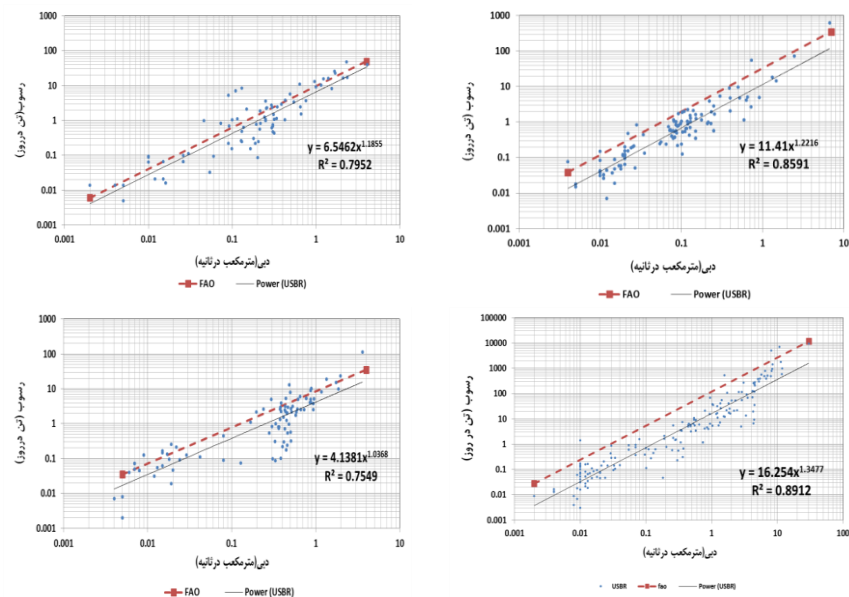
بعد از واسنجی مدل و بهینه‌سازی پارامترها، مدل برای پیش‌بینی رواناب دوره آینده مورد استفاده قرار گرفت که در جدول ۳ مقدار رواناب‌های تخمین زده در مقایسه با دبی مشاهداتی (۲۰۰۰-۲۰۱۴) ارائه شده است که در ایستگاه‌های نوران، نیر و یامچی افزایش متوسط دبی جریان و در سایر ایستگاه‌ها کاهش متوسط دبی جریان پیش‌بینی شده است.

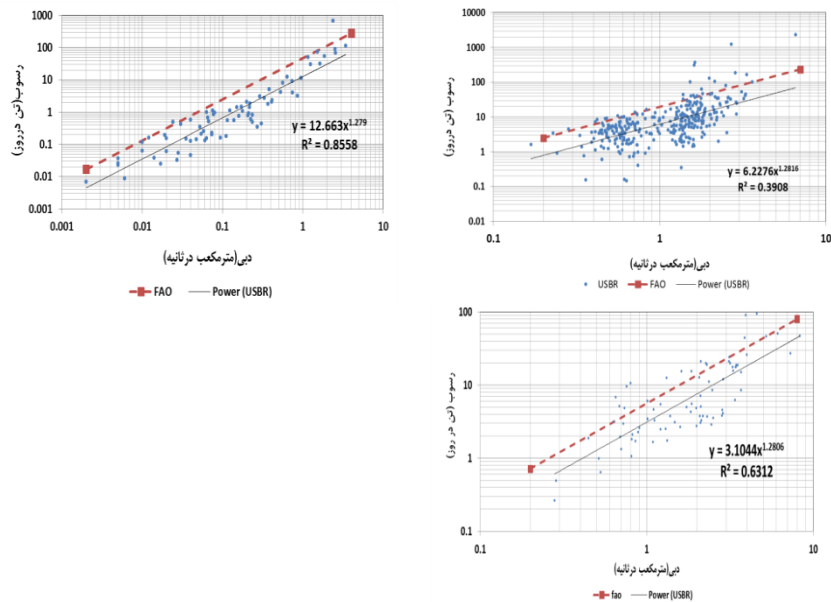
جدول ۳- مقایسه مقادیر پایه رواناب با دبی شبیه‌سازی شده (۲۰۱۱-۲۰۳۰) تحت سناریوی A1B

| ایستگاه      | آتشگاه | عمقین | کوزه‌تپرافقی | نوران | نیر  | باروق | یامچی |
|--------------|--------|-------|--------------|-------|------|-------|-------|
| دبی مشاهداتی | ۰/۱۲   | ۰/۲۱  | ۰/۹۹         | ۰/۳۲  | ۱/۲۰ | ۰/۲۱  | ۲/۰۹  |
| دبی آتی      | ۰/۰۹   | ۰/۱۷  | ۰/۸۶         | ۰/۲۸  | ۱/۳۱ | ۰/۱۴  | ۲/۶۲  |

#### اثر تغییر اقلیم بر رسوبدی رودخانه

تغییر اقلیم بر روی پارامترهای هیدرولوژیکی مؤثر می‌باشد که می‌تواند منجر به تغییر بارمعلق جریان رودخانه شود. در پژوهش حاضر اثر تغییر اقلیم بر روی رسوبدی حوزه‌های منتخب برای دوره مشاهداتی مورد بررسی قرار گرفته است. در شکل ۵ نتایج منحنی سنجه‌رسوب ایستگاه‌های هیدرومتری مورد مطالعه ارائه شده است. معادلات منحنی سنجه‌رسوب مربوط به هر ایستگاه هیدرومتری و ضریب همبستگی بین دبی جریان و بار رسوبد معلق در جدول ۴ آورده شده است.





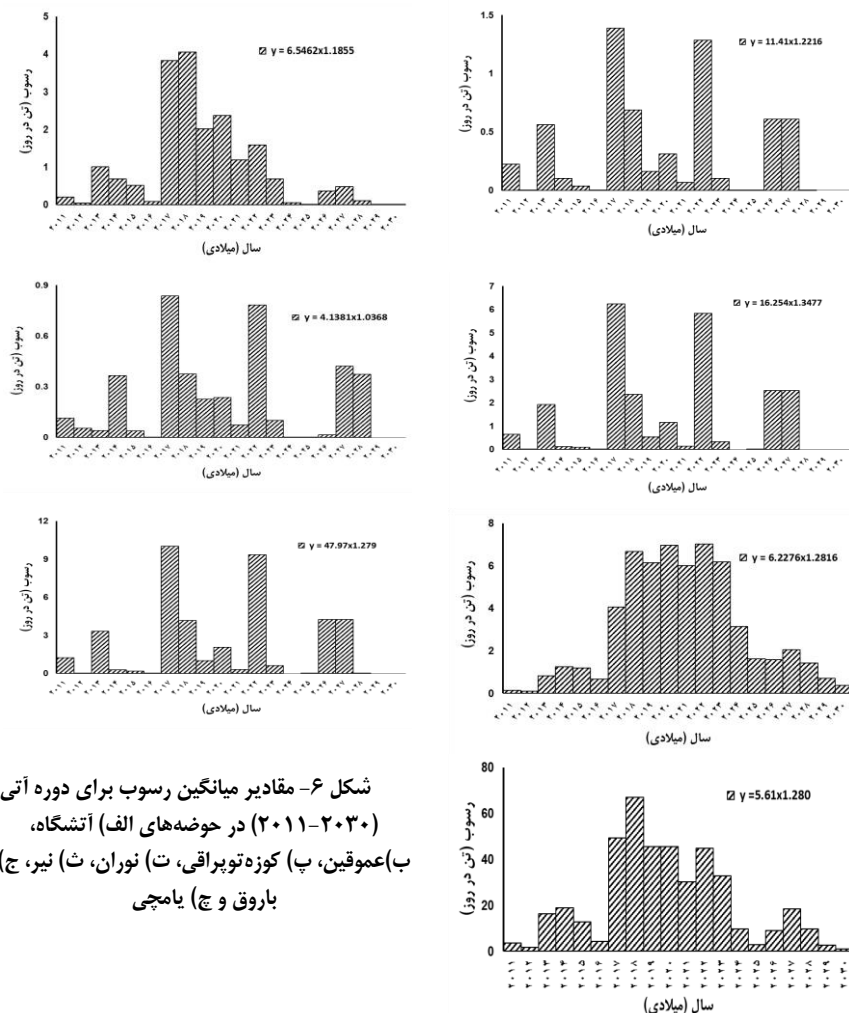
شکل ۵- نمودار همبستگی نمایی دبی و رسوب رودخانه در حوضه‌های (الف) آتشگاه، (ب) عموقین، (پ) کوزه توپرافی، (ت) نوران، (ث) نیر، (ج) باروچ و (چ) یامچی

جدول ۴- فرمول معادلات منحنی سنجه‌رسوب و میزان ضریب همبستگی

| $R^2$          | معادلات سنجه‌رسوب      | ایستگاه‌های مطالعاتی |
|----------------|------------------------|----------------------|
| $R^2 = 0.8591$ | $y = 11.41x^{1.2216}$  | آتشگاه               |
| $R^2 = 0.7952$ | $y = 8.5462x^{1.1855}$ | عموقین               |
| $R^2 = 0.8912$ | $y = 16.254x^{1.3477}$ | کوزه توپرافی         |
| $R^2 = 0.7549$ | $y = 4.1381x^{1.0368}$ | نوران                |
| $R^2 = 0.3908$ | $y = 6.2276x^{1.2816}$ | نیر                  |
| $R^2 = 0.8558$ | $y = 12.663x^{1.279}$  | باروچ                |
| $R^2 = 0.6312$ | $y = 3.1044x^{1.2806}$ | یامچی                |

با محاسبه معادلات منحنی سنجه‌رسوب ایستگاه‌های هیدرومتری میزان بار معلق رسوب در دوره آتی تخمین زده شد که در شکل ۶ نشان داده شده است. همچنین تغییرات

میزان دبی رسوب به صورت تفکیک شده در دوره‌های مختلف در جدول ۵ ارائه شده است. ایستگاه یامچی و نیر به ترتیب با مساحت ۵۵۶۲۴ و ۱۵۷۹۷ هکتار دارای بیشترین تغییرات بار رسوب و ایستگاه آتشگاه با مساحت ۱۶۶۱ هکتار دارای کمترین تغییرات بار رسوب می‌باشد.



شکل ۶- مقادیر میانگین رسوب برای دوره‌های (۲۰۱۱-۲۰۳۰) در حوضه‌های (الف) آتشگاه، (ب) عموقین، (پ) کوزه‌توپراقی، (ت) نوران، (ث) نیر، (ج) باروق و (ج) یامچی

جدول ۵- مقایسه مقادیر متوسط رسوب (تن در روز) در دوره‌های انتخابی

| ایستگاه      | دوره اول (۲۰۲۰) | دوره دوم (۲۰۲۳) | دوره سوم (۲۰۲۶) | دوره چهارم (۲۰۲۹) |
|--------------|-----------------|-----------------|-----------------|-------------------|
| آشگاه        | ۰/۲۳            | ۰/۱۰            | ۰/۰۱            | .                 |
| عموین        | ۲/۳             | ۰/۶۸            | ۰/۳۶            | ۰/۰۰۵             |
| کوزه تپبراقی | ۱/۱             | ۰/۳۲            | ۲/۵             | .                 |
| نوران        | ۰/۳۱            | ۰/۱۰            | ۰/۶۰            | .                 |
| نیر          | ۶/۹             | ۶/۱             | ۱/۵             | ۰/۷۰              |
| باروق        | ۲/۰۵            | ۰/۶۲            | ۴/۲             | .                 |
| یامچی        | ۴۵/۵            | ۳۲/۸            | ۹/۰۹            | ۲/۶               |

مقدار بارندگی و درجه حرارت در ایجاد رواناب و رسوب نسبت به دیگر متغیرهای اقلیمی نقش بسیار مهمی دارد که در بیشتر مطالعات تغییر اقلیم این پارامترها به عنوان معیارهای اصلی مورد مطالعه قرار می‌گیرند (نامدار، ۱۳۹۴: ۶۸). نتایج بررسی تغییرات اقلیمی در ایستگاه سینوپتیک اردبیل نشان داد که مقدار متوسط دراز مدت درجه حرارت حداقل و حداکثر در ماههای گرم سال افزایش خواهد یافت که مطالعات کاویان و همکاران (۱۳۹۶: ۸۹) در حوزه هراز واقع در استان مازندران نیز چنین روندی را گزارش نموده است. در ماههای آگوست و جولای مقدار درجه حرارت حداکثر به ترتیب ۲/۳، ۲/۸ درجه سانتی‌گراد و درجه حرارت حداقل ۰/۶۸ و ۰/۳۶ درجه سانتی‌گراد افزایش یافته است. افزایش دما در ماههای گرم سال در اثر تغییر اقلیم در مطالعات صالحی و همکاران (۱۳۹۶: ۱۹۰)، تان و همکاران (۱۵: ۲۰۱۵) و رضایی‌زمان و همکاران (۱۳۹۲: ۱۲۴۷) نیز عنوان شده است. متوسط مقدار بارندگی شبیه‌سازی شده برای ماههای آگوست و سپتامبر به طور متوسط ۸۵ درصد و درصد افزایش بارندگی را نشان می‌دهد ولی برای اکثر ماههای سال مقدار بارندگی به طور متوسط کاهش بارندگی را نشان می‌دهد کاهش بارندگی برای دوره آتی در مناطق نیمه‌خشک در مطالعات رضایی‌زمان و همکاران (۱۳۹۲: ۱۰) ذکر شده است.

تغییرات اقلیمی منطقه در دوره آتی به طور مستقیم بر مقدار رواناب تأثیرگذار می‌باشد، مقدار متوسط دبی برای ایستگاه‌های مطالعاتی نسبت به دوره مشاهداتی ۱۶/۰ درصد کاهش



رواناب را نشان می‌دهد که مطالعات قاسمی و همکاران (۱۳۹۲: ۳۷) و گودرزی و همکاران (۱۳۹۵: ۱۷۵) نیز به نتایج مشابهی در خصوص کاهش رواناب دست یافته‌اند. حوزه‌های آبخیز مطالعاتی در منطقه کوهستانی و سردسیر واقع می‌باشند که دارای متوسط بارش برف بالای می‌باشند. در این مناطق برای دوره آتی زمان شروع دبی‌های اوج نسبت به دوره مشاهداتی زودتر می‌باشد و می‌توان بیان کرد که این فرآیند به طور مستقیم تحت تأثیر افزایش دمای مناطق بالادست می‌باشد که با مطالعات قاسمی و همکاران (۱۳۹۲: ۴۸) و بیوی و همکاران (۱۳۰۲: ۴) مطابقت دارد. همچنین بررسی نتایج در این ایستگاه‌ها نشان داد که احتمال افزایش دبی اوج برای این ایستگاه‌ها وجود دارد به طوری که ایستگاه هیدرومتری یامچی با ۱۶ واقعه دبی اوج بالای ۶ متر مکعب برثانیه و افزایش ۰/۴۰ درصدی در دبی اوج دارای بیشترین احتمال خطر وقوع سیل می‌باشد.

میزان رسوب تولیدی کاملاً وابسته به دبی جریان می‌باشد و همبستگی بالایی بین این دو پارامتر وجود دارد. بیشترین حجم رسوب سالانه مربوط به رخدادهای دبی اوج می‌باشد که با نتایج گیرولامو و همکاران (۱۳۵: ۲۰۱۵) و لادیگارد و همکاران (۱۳۶: ۵۸۲) مطابقت دارد. با بررسی تغییرات اقلیمی و دبی جریان رودخانه در دوره آتی مقدار تغییرات رسوب بررسی شد. در اکثر ایستگاه‌های مطالعاتی با کاهش بارندگی و دبی جریان در دوره چهارم (۲۰۲۹) میزان بار رسوب جریان به میزان چشمگیری (۴۷ درصد) کاهش یافته است که با مطالعات ایستلنی و همکاران (۱۹۹۸: ۷۹۴) در رودخانه‌های مختلف جهان مطابقت دارد.

### نتیجه‌گیری

پیامدهای تغییر اقلیم بر چرخه هیدرولوژی می‌تواند منابع آب و خاک آبخیز را تحت تأثیر قرار دهد. اثرات تغییر اقلیم با بالا رفتن دما، تغییر در نوع و مقدار بارش، رواناب و جریان رودخانه‌ها و همچنین تغییر در عوامل فرساینده و پوشش زمین و کمیت و کیفیت آب را تغییر می‌دهد. هدف از پژوهش حاضر بدست آوردن مقادیر بارش و دما، رواناب و رسوب برای دوره‌های آتی (۲۰۳۰-۲۰۱۱) می‌باشد. رواناب سطحی در حوضه‌های مطالعاتی با استفاده از مدل IHACRES محاسبه شدند و با اعمال تغییرات اقلیمی رواناب سطحی در

مقطع‌های زمانی مختلف در دوره آتی به دست آمد که نتایج روند کاهشی رواناب برای سال‌های آتی را نشان می‌دهد. همچنین با استفاده از معادله منحنی سنجه‌رسوب میزان رسوب برای دوره آتی به دست آمد، نتایج نشان می‌دهد. نتایج پژوهش نشان داد که در بیشتر حوزه‌های آبخیز میزان بارندگی ورودی کاهش یافته است که این کاهش معادل با ۱۶ درصد می‌باشد. از طرف دیگر مقدار دمای حداقل و حداکثر به ترتیب  $16/38$  و  $5/39$  درصد افزایش یافته است که این افزایش دما به صورت متقابل منجر به افزایش تبخیر و تعرق و هدر رفت بارش ورودی در این مناطق خواهد شد. به طوری که نتایج مدل IHACRES کاهش ۱۶ درصدی رواناب و نتایج منحنی سنجه‌رسوب کاهش ۴۷ درصدی رسوب را برای دوره آینده نشان می‌دهند. بنابراین لازم است که در این منطقه اقدامات و برنامه‌ریزی‌های لازم جهت مدیریت حوزه‌های آبخیز انجام شود. برای تأثیر تغییر اقلیم بر چرخه هیدرولوژیکی حوزه‌های آبخیز استان اردبیل را نشان می‌دهد و با توجه به اثرات زیست محیطی تغییر اقلیم ارائه راهکارهایی را برای مقابله با اثرات تغییر اقلیم بر روی اکوسیستم را الزامی می‌داند.



## منابع

- آقاییگی، ۱۳۹۶، ارزیابی تغییرپذیری رواناب و رسوب ناشی از تغییرات اقلیمی در حوزه‌های آبخیز استان اردبیل، پایان نامه کارشناسی ارشد رشته آبخیزداری، دانشگاه محقق اردبیل
- تلوری، ع؛ بیرون دیان، ن؛ منوچهری، ا، ۱۳۸۶، مدل سازی تغییرات زمانی رسوب، پژوهش و سازندگی در منابع طبیعی، شماره ۷۵، صفحه ۶۴-۷۰.
- حکیم‌خانی، ش؛ عرب خدری، م؛ مهدوی، م؛ ولی خوجینی، ع، ۱۳۷۹، تحلیل منطقه‌ای رسوب متعلق در حوزه دریاچه ارومیه، دومین همایش فرسایش و رسوب، خرم‌آباد، لرستان.
- حلیبان، ا؛ حیدری، م، ۱۳۹۵، برآورد رسوب با استفاده از منحنی سنجه رسوب و بررسی تغییرات دبی برآن، جغرافیا، دوره ۱۴، شماره ۵۱، صفحه ۱۹۳-۲۱۸.
- خروشی، س؛ مصطفی‌زاده، ر؛ اسماعلی‌عوری، ا؛ رئوف، م، ۱۳۹۶، ارزیابی تغییرات زمانی و مکانی شاخص سلامت هیدرولوژیک رودخانه در حوزه‌های آبخیز استان اردبیل، /کوهیدرولوژی، دوره ۴، شماره ۲، صفحه ۳۷۹-۳۹۳.
- رضایی‌زمان، م؛ مرید، س، دلاور، م، ۱۳۹۲، اثرات تغییر اقلیم بر متغیرهای هیدرولوژیکی حوزه سیمینه‌رود. نشریه آب و خاک، سال ۶، شماره ۲۷، صفحه ۱۲۴۷-۱۲۵۹.
- سیدقاسمی، س؛ ابریشم چی، ا؛ تجربی‌شی، م، ۱۳۸۵، اثرات تغییرات جریان رودخانه زاینده -رود بر اثر تغییر اقلیم، دومین کنفرانس مدیریت منابع آب.
- صالحی، ب؛ عالی‌جهان، م؛ عینی، س؛ درخشی، ج، ۱۳۹۶، پیش‌بینی تاریخ‌های شروع و پایان یخ‌بندان‌های سبک و سنگین استان کرمانشاه با بهره‌گیری از ریزگردان LARS-WG جغرافیا و برنامه‌ریزی تبریز، سال ۲۱، شماره ۵۹، صفحه ۱۷۵-۱۹۵.
- صیاحی، ث؛ ع. شهریازی ، خ. خادمی، ۱۳۹۶، پیش‌بینی اثر تغییر اقلیم بر رواناب ماهانه حوزه دز با مدل IHACRES، قصلنامه علوم و مهندسی آب، سال ۷، شماره ۱۵، صفحه ۷-۱۸.
- قاسمی، ا؛ فتاحی، ا؛ بابایی، ا، ۱۳۹۲، تاثیر تغییر اقلیم بر رواناب با رویکرد عدم قطعیت مدل گردش عمومی جو، مطالعات جغرافیایی مناطق خشک، سال ۴، شماره ۱۳، صفحه ۳۷-۵۳.
- کاویان، ع؛ نامدار، م؛ گلشن، م؛ بحری، ر، ۱۳۹۶، مدل سازی هیدرولوژیکی اثرات تغییر اقلیمی بر نوسانات دبی رودخانه هراز، مخاطرات محیط طبیعی، سال ۶، شماره ۱۲، صفحه ۸۹-۱۰۴.
- کریمی، م؛ قاسمی، ا، ۱۳۹۶، بررسی پدیده تغییر اقلیم با رویکرد تصمیم‌گیری چندمعیاره، جغرافیا و برنامه‌ریزی تبریز، سال ۲۱، شماره ۶۱، صفحه ۲۴۱-۲۶۱.

- گلشن، م؛ اسماعلی، ا؛ شاهدی، ک؛ جهانشاهی، ا، ۱۳۹۵، کارایی مدل SWAT و IHACRES در شبیه‌سازی رواناب حوزه آبخیز خرم‌آباد. *داتش آب و خاک*، شماره ۲۶، صفحه ۴۲-۲۹.
- گودرزی، م؛ صلاحی، ب؛ حسینی، ا، ۱۳۹۴، بررسی تأثیر تغییرات اقلیمی بر تغییرات رواناب سطحی، *اکوهیدرولوژی*، دوره ۲، شماره ۲، صفحه ۱۸۹-۱۷۵.
- لکزائیان پور، غ؛ محمدرضایپور، ا. مالمیر، م، ۱۳۹۵، ارزیابی آثار تغییر اقلیمی بر میزان رواناب رودخانه نازلو چای در حوزه دریاچه ارومیه، *جغرافیا و توسعه*، شماره ۴۲، صفحه ۱۹۸-۱۸۳.
- مختاری، ا، ۱۳۷۶، بررسی مدل امکان برازش مدل تجربی PSIAC در برآورد فرسایش رسوب در حوزه‌های آبخیز فاقد آمار با بهره‌گیری از GIS و سنجش از دور، پایان‌نامه کارشناسی ارشد آبخیزداری، دانشکده منابع طبیعی، دانشگاه تهران.
- نامدار، م، ۱۳۹۳، پیش‌بینی رواناب سطحی بر پایه تغییرات اقلیمی حوزه آبخیز هراز، پایان‌نامه کارشناسی ارشد آبخیزداری، دانشگاه علوم کشاورزی و منابع طبیعی ساری.
- همتی، م؛ مهدوی، م؛ عرب خدری، م، ۱۳۸۰، بررسی رابطه رسوب‌دهی حوزه‌های آبخیز با لیتوژئی و عوامل بارش موثر، *همایش ملی مدیریت اراضی، فرسایش خاک و توسعه پایدار، اراک، مرکز تحقیقات حفاظت خاک و آبخیزداری*، صفحه ۲۴۴-۲۳۴.
- Bavay M., Grunewald T., and Lehning M. 2013. Response of snow cover and runoff to climate change in high Alpine catchments of Eastern Switzerland. *Advances in Water Resources*, 55: 4-16.
- Bobrovistkaya, N., Kokorev, A., and Lemeshko, N. 2003. Regional Patterns in Recent Trends in Sediment Yields of Eurasian and Siberian Rivers, *Global and Planetary Change*, 39: 127-146.
- Dawoochund, R., Patra, K. C., and Swain, J. B. 2017. Adequacy of IHACRES Model on Streamflow Resulting from Landuse Changes. 22nd International Conference on Hydraulics, Water Resources and Coastal Engineering, Gujarat, India, 21-23 December, 2355-2363.
- Girolamo, A. M., Pappagallo, G., and Porto, A. L. 2015. Temporal variability of suspended sediment transport and rating curves in a Mediterranean river basin: The Celone (SE Italy). *Catena*, 128, 135-143.
- Gomez, J.A., Sobrinho, T.A., Giraldez, J.V., and Fereres, E. 2009. Soil management effects on runoff, erosion and soil properties in an olive grove of Southern Spain. *Soil Tillage Reserch*. 102, 5-13.



- Gupta, H., and Chakrapani, G.J. 2007. Temporal and spatial variations in water flow and sediment load. *Current Science*. 92 ( 5): 679-684.
- Hicks, D. M., Gomez, B., and Trustrum, N. A. 2000. Erosion Thresholds and Suspended Sediment Yields, Waipaoa River Basin, New Zealand, *Water Resour. Resercher*. 36(4): 1129-1142.
- Horowitz A.J., 2003. An Evaluation of Sediment Rating Curves for Estimating Suspended Sediment Concentrations for Subsequent Flux Calculations, *Hydrological Processes*, 17. 3387–3409.
- Kao, Sh., Lee, T and Milliman, J.D. 2005. Calculating highly fluctuated suspended sediment fluxes from mountainous rivers, Taiwan. 16: 653-675.
- Ladegard, P., Sigsgaard, C., Kroon, A., Abermann, J., Skov, K., Elberling, B. 2017. Suspended sediment in a high-Arctic river: An appraisal of flux estimation methods. *Science of the Total Environment*, 580, 582-592.
- Ladegaard-Pedersen, P., Sigsgaard, C., Kroon, A., Abermann, J., Skov, K., and Elberling, B. 2017. Suspended sediment in a high-Arctic river: An appraisal of flux estimation methods. *Total Environment*, 580, 582-592.
- Li, L.J., Zhang, L., Wang, H., Wang, J., Yang, J.W. and Jiang, D.J.2007. Assessing the impact of climate variability and human activities on streamflow from the Wuding River. *Hydrol Process*.21(25): 3485-3491.
- Littlewood, L.G., Clarke, R.T., Collischonn, W., Croke, B.F.W. 2007. Predicting daily Streamflow using rainfall forecasts, a simple loss module and unit hydrographs: Two Brazilian catchments. *Environmental Modelling and Software*, 22: 1229-1239.
- Nikolaidis, N.P., Demetropoulou, L., Froebrich, J., Jacobs, C., Gallart, F. 2013. Towards a sustainable management of Mediterranean river basins. Policy recommendations on management aspects of temporary river basins. *Water Policy* 15, 830–849.
- Sriwongsitanon, N., and Taesombat, W. 2011. Estimation of the IHACRES model parameters for Flood Estimation of Ungauged catchments in the upper ping river basin. *Journal Kastsart (Natural Science)* 45: 917-931.

- Stanley, D.J., Warne, A.G. 1998. Nile delta in its destruction phase. *Journal of Coastal Research* 14, 794–825.
- Tan M., Ibrahim A., Yusop Z., Duan Z., Ling L. 2015. Impacts of landuse and climate variability on hydrological components in the Johor River basin, Malaysia. *Hydrological Sciences*, 60:1-17.
- Walling, D. E., 1977, assessing the accuracy of suspended sediment Rating curves for a small Basin, *water Resources Research*. 13 (3).
- Walling, D.E., Fang, D., 2003. Recent trends in the suspended sediment loads of the world's rivers. *Global and Planetary Change* 39: 111–126.
- Wang, H., Yang, Z., Saito, Y., Liu, J. P., Sun, X. and Wang, Y. 2007. Stepwise decreases of the Huanghe sediment load: Impacts of climate change and human activities. *Global and Planetary Change*, 57: 331-354.
- Yang, Z., Wang, H., Saito, Y., Milliman, J.D., Xu, K., Qiao, S., Shi, G. 2006. Dam impacts on the Changjiang River sediment discharge to the sea: the past 55 years and after the Three Gorges Dam. *Water Resources Research* 42, W04407: 1:10.